

پژوهش و سازندگی، شماره ۵۱، بهار ۱۳۸۱

کاربرد فن آوری پردازش تصاویر جهت برآورد میزان دوده فرونشسته در ایران طی جنگ خلیج فارس

- حمید طاهری شهرآئینی، دانشجوی دکترای عمران آب دانشگاه صنعتی شریف
- بهرام ثقیلیان، عضو هیات علمی مرکز تحقیقات حفاظت خاک و آبخیزداری
- نادر جلالی، عضو هیات علمی مرکز تحقیقات حفاظت خاک و آبخیزداری
- مسعود تجریشی، عضو هیات علمی دانشکده مهندسی عمران، دانشگاه صنعتی شریف

تاریخ دریافت: اسفند ماه ۱۳۷۹ تاریخ پذیرش: آبان ماه ۱۳۸۰

مقدمه

در نوزدهم ماه فوریه سال ۱۹۹۱، نیروهای عراق چاههای نفت کشور کویت را به آتش کشیدند که این آتش‌سوزی تا اوایل ماه نوامبر سال ۱۹۹۱ به طول انجامید (۲). سوختن چاههای نفت کویت باعث شد که مقادیر زیادی از گازهای دی‌اکسید‌گوگرد، مونوکسید کربن، سولفیدنیدروژن، دی‌اکسید کربن و اکسیدهای نیتروژن و همچنین ذراتی مثل هیدروکربنهای ناشی از احتراق ناقص و فلزات سنگین که برای سلامت انسانها و گیاهان خطرناک هستند، در فضای منظر شوند (۹). داده‌ها و اطلاعات بسیار متناوی از وضعیت چاههای نفت کویت در طول جنگ خلیج فارس گزارش شده‌اند و نظرات در مورد بسیاری از مسائل همچون تعداد حلقه چاههای در حال اشتغال و میزان نفت خام سوخته شده بسیار متنوع می‌باشند. اساماعیلی ساری از اشتغال ۶۰۵ حلقه چاه نفت خبر داد (۱)، در حالی که Hosain تعداد حلقه چاههای در حال اشتغال را از گزارشات مختلف ۶۲۵۶ و ۶۵۶۵ ذکر کرده است (۹). همچنین در مورد میزان نفت خام در حال اشتغال نیز گزارشات مختلفی در دست می‌باشد.

کویت خام از اشتغال ۴ میلیون بشکه نفت خام در روز و Browning و Bakan و همکاران، Small و Johnson و همکاران، Ferek و همکاران از ترتیب از حدود ۴۰۰۰، ۲۰۰۰، ۱۰۰۰ و ۵۰۰ بشکه در روز خبر می‌دهند (۱۶، ۱۳، ۱۲، ۴، ۳). با بررسی آمار مختلف، عدد ۴ میلیون بشکه در روز را معقول می‌داند که در این مقاله نیز از نتایج مطالعه ایشان استفاده شده است (۹). در مورد تخمین میزان دود و دوده ناشی از آتش‌سوزی چاههای نفت کویت نیز اختلافات زیادی وجود دارد. مثلاً در هر مورد دوده منتشره، Ferek و همکاران اظهار نموده‌اند که درصد نفت خام سوخته شده تبدیل به دوده می‌شود، در حالیکه Bakan از تبدیل ۱۰ درصد نفت خام سوخته شده به دوده خبر می‌دهند (۳)، Ranshoff و همکاران طی تک سری از مباحثات تحقیقاتی بد این نتیجه رسیدند که به اراده سوختن هر

✓ Pajouhesh & Sazandegi, No 54 PP:86-90

Application of image processing for estimating the amount of soot deposition in Iran after the Persian Gulf war

By: H. Taheri Shahraini, Ph.D. Student of Civil Engineering Department of Sharif University of technology; Saghafian B., Assistant Professor of Soil Conservation and Watershed Management Research Center; Jalali N., Scientific Staff of Soil Conservation and Watershed Management Research Center; Tajrishi M., Assistant Professor of Civil Engineering Department of Sharif University of technology

In late February 1991, the burning of the Kuwaiti oil wells produced and emitted huge amounts of smokes in the region. Because of the importance of environmental impacts and for the completion of related previous studies, the emitted smoke was tracked for several days in February and March by a new image processing method. In this new method, a reference image was for considering the effects of the cloudy regions and another was used for the effects of specific atmospheric and land surface conditions. Therefore the smoke index for Iran and the whole region was determined. According to this index, and considering the burning of about 4 million barrels of crude oil per day and the amount of spreaded soot by burning a unit of crude oil some analysis was done which resulted in an estimation of soot deposited in Iran. These estimations showed that from the beginning of the burning of oil wells to the end of March, approximately thirty-thousand tons of soot have been deposited in Iran by black rain.

Keywords: Persian Gulf War, Satellite image, NOAA, Air Pollution, Wet deposition, Soot, Smoke Plum, Smoke Index

چکیده

در اوخر فوریه سال ۱۹۹۱ میلادی، آتش‌سوزی چاههای نفت کویت متجربه به پخش مقادیر زیادی دود در فضای منطقه گردید. با توجه به اهمیت اثرات زیست محیطی و درجه تکمیل بررسیهای قبلی، دود منتشره توسط یک روش جدید پردازش تصاویر ماهواره‌ای برای روزهای مختلف ماه فوریه و مارس ردیابی شد. در این روش جدید، به منظور حذف ابر از یک تصویر مرجع و برای در نظر گرفتن اثرات شرایط اتمسفری و سطح زمین از تصویر مرجع دیگر استفاده شد. سپس شاخصهای دود ایران و کل منطقه تعیین گردیدند. با توجه به این شاخص‌ها و سوختن متوسط ۴ میلیون بشکه نفت خام در روز و میزان دوده منتشره به ازای یک واحد نفت خام و بانجام یک سری تحلیل و آنالیز حساسیت، برآورد شد که طی روزهای شروع آتش‌سوزی تا انتهای ماه مارس، تقریباً ۳۰ هزار تن دوده توسط بارانهای سیاه در ایران فرو نشسته است. با استفاده از روش ارائه شده در این تحقیق، می‌توان میزان آلاتیندهای مختلف، که توسط باران سیاه بر زمین نشسته‌اند را نیز تعیین نمود.

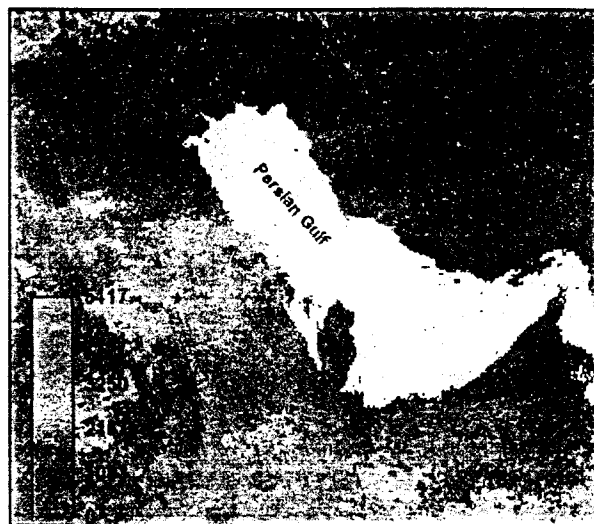
کلمات کلیدی: جنگ خلیج فارس، آلودگی هوا، نشست تر، دوده، تصاویر ماهواره‌ای، پلوم دود، شاخص دود

کیلوگرم نفت خام ۷۵ گرم دود تولید می شود و میزان دوده موجود در کل دود، ۷۰٪ می باشد (۱۵). بررسیهای اولیه نشان می دهد که زیانه دود ناشی از آتش سوزی چاههای نفت کویت، عمدتاً در جهت باد و در ارتفاع ۱ تا ۲ کیلومتر از سطح زمین در حرکت بوده است و ارتفاع حداقل آن از ۵ کیلومتر تجاوز نکرده است (۶). عدم وجود باد عمودی و حاکمیت نوعی وارونگی هوا در منطقه باعث شد که زیانه دود نتواند به داخل استراتوسفر گسترش یابد. به همین دلیل، اثرات جهانی زیست محیطی تا اندازه های محدود گردید، اگر چه اثرات منطقه ای و محلی باعث خسارات عمده ای شدند. بدعلت کمبود ایستگاههای سنجش الودگی هوا و فقدان ارتباط داخلی بین ایستگاههای موجود، فراهم سازی یک مدل جهت پیش بینی رفتار آلاینده های هوا، کاری بسیار مشکل بنظر می رسد (۶). در اولین گرد همایی سازمان جهانی هواشناسی (WMO) که در اوریل سال ۱۹۹۱ در شهر ژنو برگزار شد، توجه خاصی به مدل های جهانی ^۱ و منطقه ای ^۲ مطوف گردید (۱۸). در دومین گرد همایی WMO در سال ۱۹۹۲، مطالعه اثرات و مدل سازی منطقه ای و محلی ^۳ در اولویت قرار گرفتند. در این گرد همایی مدل های ریاضی مختلفی جهت نشان دادن نحوه پخش زیانه دود و توصیف اثرات زیست محیطی ناشی از سوختن چاههای نفت ارائه شدند (۱۹). این مدل ها را می توان به دو گروه تقسیم کرد:

الف- مدل های پوشش دهنده محدوده نزدیک که قابل کاربرد در محدوده ۱۰۰ تا ۱۵۰ کیلومتری از منبع آلودگی می باشند.

ب- مدل های منطقه ای و جهانی که تا هزار کیلومتر از منبع آلودگی را تحت پوشش قرار می دهند.
اما نتایج اکثر مدل های ریاضی مورد استفاده در مقایسه با مشاهدات دوده و آلاینده های گازی و دود تفاوت چشمگیری را نشان می دهند. اکثر مدل های نتوانسته اند تغییرات ویژگی های جغرافیایی منطقه را که روی تبدیل آلاینده ها تأثیر می گذارند را در نظر بگیرند (۶). از طرفی این مدل های ریاضی به داده های بسیار زیادی درباره ترکیب آلاینده ها در محل منبع، نرخ پراکنش و ویژگی های هواشناسی محلی نیاز دارند و بد علت محدودیت داده های موجود از آتش سوزی چاههای نفت کویت، استفاده از این مدل ها محدود شده است (۹). در این تحقیق، امکان استفاده از مدل های ریاضی به دلایل فوق فراهم نگردید و از دسته ای دیگر از مدل های متکی بر پردازش تصاویر ماهواره ای استفاده شد.

تحقیقات متعددی بر پایه تفسیر تصاویر ماهواره ای در بررسی اثرات جنگ خلیج فارس انجام شده است. نتایج نشان داده اند که دود به شدت دستخوش تغییر می باشد، بدنجویکد حتی حرکت آن در مقیاس روزاند غیر قابل پیش بینی است. یکی از سه جهت عمدۀ حرکت آلاینده ها، حرکت مستقیم به سمت شرق (ایران) می باشد (۵، ۱۴) بدنجویکد تصاویر ماهواره ای حرکت زیانه دود را به سمت مرزهای ایران، به حاضر وجود یک ناحیه کم فشار در ایران در روزهای موردن بررسی، تصدیق می کنند (۷). Limaye و هیکران ^۴ مفاسد مشاهدات ماهواره ای و بادهایی که از پیش بینی های مدل های عددی ندست آمدند بودند. حسن نسبت کسری گردید که بیشتر دود در بین محدوده قبیله های ۱۰۰ تا ۸۵ کیلومتر بار مستقر بودند. این اضطرار ناشسته که سراسر



شکل ۱- تصویر باند ۲ ماهواره NOAA پس از حذف محدوده خلیج فارس



شکل ۲- تصویر بدست آمده پس از حذف مناطق ابری از تصویر شاخن دود SI



شکل ۳- تصویر شاخن دود SI که پس از اعمال اثرات رطوبت بدست می آید.

جدول شماره ۱- مجموع شاخصهای دود ایران (ISI) و منطقه (RSI) و درصد دود ورودی به ایران (PS) در روزهای مختلف مورد بررسی

تاریخ	RSI	ISI	PS
۱ مارس	۳۳۸۲	۱۵۶۲	۴۶
۳ مارس	۳۱۵۰	۱۲۲۶	۳۸
۷ مارس	۱۰۹۰	۳۳۳۳	۳۰
۹ مارس	۲۱۱۱	۴۶۷	۳۱
۱۰ مارس	۱۷۸۹	۱۲۲۰	۶۸
۱۱ مارس	۲۲۴۵	۵۰۳	۲۲
۱۲ مارس	۲۷۷۶	۹۷۹	۳۵
۲۰ مارس	۲۶۱	۱۸۲۷	۶۹
۲۷ مارس	۱۷۱۶	۷۰۳	۴۱
۲۸ مارس	۲۴۲۶	۱۳۰۷	۵۴
۲۹ مارس	۳۸۹۸	۲۲۸۸	۵۸
۲۳ فوریه	۴۵۳۲	۲۰۲۹	۴۴
۲۵ فوریه	۲۸۹۲	۲۸۴	۱۰

برای انجام این تحقیق لازم است که ابتدا پراکنش دود در منطقه بصورت روزانه مدلسازی شود تا میزان دود بر روی مناطق مختلف کشور تعیین گردد. سپس با استفاده از برآورد میزان کل دود و نسبت دوده ورودی به ایران، می‌توان برآورده از کل دوده فرو نشسته در ایران توسط بارانهای سیاه را بدست آورد.

روش کار و داده‌های مورد استفاده

در این تحقیق از تصاویر ماهواره‌ای GAC^۴ وسط NOAA^۵-۱۱ از ماهواره AVHRR^۶ برای قدرت تفکیک حدود ۴ کیلومتر می‌باشد (۲). تمامی تصاویر از مرکز ملی تحقیقات جوی NCAR^۷ (NCAR) بر روی نوار دریافت شده بودند که اطلاعات نوارها پس از تبدیل به فرمت Erdas-Lan CD به منتقل گردید (۲). برای پردازش تصاویر از نرم‌افزار ILWIS (۱۰) استفاده شد. شکل ۱-۱ یک نمونه تصویر خام باند ۲ منطقه تحت تأثیر دود پس از حذف محدوده خلیج فارس را نشان می‌دهد. زمان برداشت این تصویر، ساعت ۱۰ صبح روز دوازدهم مارس سال ۱۹۹۱ به وقت گرینویچ می‌باشد.

منطقه مورد مطالعه در محدوده طول جغرافیایی (۱۳°E-۵۷°E) و عرض جغرافیایی (۳۰°N-۳۳°N و ۲۱°N) واقع شده است.

در این مرحله لازم است که در مورد مدل شاخص دود مرجع (۲) توضیح مختصری ارائه شود. مدل مذکور به صورت رابطه زیر تعریف می‌شود و چون برای مناطق آبی کاربرد ندارد، محدوده خلیج فارس از تمامی تصاویر حذف شده است:

$$SI = \frac{RI}{RCI} - 1^{0.5}$$

که در آن:

SI: نقشه شاخص دود.

RI: تصویر ماهواره‌ای خام باند ۲ ماهواره NOAA پس از حذف محدوده خلیج فارس و RCI: تصویر مرجع می‌باشد.

منظور از تصویر مرجع، تصویری کامل‌صاف از سطح زمین است که هیچگونه ابر، دود و یا مه در آن وجود ندارد. Aminipouri و همکاران این تصویر مرجع را بوسیله دو تصویر صاف از ماه می و ژوئن سال ۱۹۹۱ ساختند (۲). در این تحقیق از این تصویر مرجع جهت حذف نقاط ابری استفاده شد. در نقشه SI بدست آمدۀ از رابطه ۱- مقادیر کوچکتر از صفر نشان دهنده وجود ابر، صفر نشان دهنده هوای صاف و نبود دود در جو در غیر این دو حالت نشان دهنده حضور دود است. به دلیل عدم وجود اطلاعات مربوط به دود سال ۱۹۹۱ میلادی، کالبیراسیون این مدل امکان پذیر نمی‌باشد و در این تحقیق سعی شده است که این مدل برای بازه زمانی مورد نظر، توسعه و بهبود داده شده و از آن جهت برآورد میزان دوده فرو نشسته در ایران استفاده شود. حذف مقادیر منفی از نقشه شاخص دود نقشه‌ای بدون مناطق ابری را نتیجه می‌دهد که آنرا CSI می‌نامیم. شکل ۲-۲ یک نمونه از این تصویر را نشان می‌دهد که مربوط به ساعت ۱۰ روز دوازدهم ماه مارس سال ۱۹۹۱ به وقت گرینویچ می‌باشد.

ماههای بارانی مورد نظر، فوریه و مارس، از ماههای مرطوب سال به شمار می‌روند و از نظر شرایط انتسферی

بررسی تصاویر ماهواره‌ای بادهای کم سرعت مربوط به فشار ۸۵۰ میلی بار (ارتفاع حدود ۱۵۰۰ متر) و جهت آنها از غرب به شرق می‌باشد (۱۴). این نتایج نشان می‌دهد که وارد ایران شده است دارای ارتفاع انتسferی و سطح زمین خاص (همچون پوشش گیاهی، رطوبت خاک و زاویه خورشیدی) ماههای فوریه و مارس می‌باشد (۲). علاوه بر اثرات آلودگی هوای ناشی از سوختن چاههای نفت کویت، می‌توان به نشتست تر و خشک این آلاینده، به طور طبیعی طی چند روز تا یک هفته از تروپوسفر حذف شده‌اند (۸).

Aminipouri تصاویر ماهواره‌ای، مدلی جهت ردیابی دود ناشی از سوختن چاههای نفت کویت ارائه کردند. در این تحقیق نیز اساس مدلسازی پراکنش دود، بر پایه مدلی است که توسط ایشان ارائه گردید (۲). در قسمت بعد در مورد این مدل توضیح داده خواهد شد. جهت اطلاع کامل از این مدل و پارامترهای مختلف آن به مراجع (۲) و (۱۱)

که PG در صد دود ورودی به محدوده و فضای خلیج فارس از کل دود منتشره می‌باشد.

بدین ترتیب سهم خلیج فارس از کل دود منتشره، ۲۰ درصد می‌باشد و در نتیجه دود ورودی به ایران تنها ۳۳٪/۶ در صد (۴۲٪/۸٪) است. اما مقداری از دود ورودی به ایران قبل از اینکه توسط نزولات جوی بر زمین بنشینند از ایران خارج شده و یا اینکه بصورت خشک بر زمین فرونشسته‌اند. نشست خشک در مورد دود ورودی به ایران، طی ماههای فوریه و مارس کم است زیرا همانطور که در مقدمه اشاره شد، دود ورودی به ایران از ارتفاع نسبتاً زیادی برخوردار بوده است (۱۴) و ماه فوریه و مارس هم ماههای پر بارانی بوده‌اند. لذا می‌توان از نسبت مجموع تعداد روزهای بدون بارش و روزهای دارای بارش بسیار کم به کل دوره، بعنوان معیاری از درصد دودی که از منطقه خارج شده و یا به صورت خشک فرو نشسته استفاده کرد. مدت آتش‌سوزی مورد مطالعه از ۲۱ فوریه تا آخر مارس، شامل ۳۹ روز می‌باشد. ساخت نقشه‌های بارش روزانه طی دوره مذکور نشان می‌دهد که تعداد روزهای بدون بارش و روزهای دارای بارش بسیار کم ۱۰ روز بوده‌اند. از طرفی گزارش شده است که طی ماههای فوریه و مارس به ترتیب ۶۵۰ و ۷۰۰ حلقه چاه نفت در حال احتراق بوده‌اند که بیشترین تعداد در طول دوره آتش‌سوزی می‌باشد (۲). تعداد حلقه چاههای نفت در حال احتراق در ماههای فوریه و مارس با هم تفاوت زیادی ندارند و می‌توان فرض کرد که در طول این دو ماه میزان انتشار دود به طور روزانه ثابت بوده است. به همین دلیل با توجه به وجود ۱۰ روز خشک در طی ۳۹ روز مورد مطالعه می‌توان چنین فرض کرد که تقریباً ۲۵ درصد آندهای ورودی بد ایران به صورت خشک فرو نشسته‌اند و با از منطقه مورد نظر خارج شده‌اند. لذا درصد دودی که توسط بارش در ایران بر زمین فرو نشسته است برابر ۲۵٪/۲ در صد (۷۵٪/۶٪) می‌باشد.

با نظر گرفتن متوسط روزانه ۴ میلیون بشکه نفت در حال اشتغال طی ماههای فوریه و مارس و میزان دوده تولیدی به ازای هر کیلوگرم نفت خام ساخته شده برابر ۵٪/۲۵ در صد (۱۵) و اینکه هر بشکه نفت خام معادل ۱۳۷٪/۸ کیلوگرم است، میزان دوده منتشره در اثر ساختن گاز روزانه ۱۲۶۷ تن است (۹) و در نتیجه کل دوده تولید شده در روز حدود ۳۰۰۰۰۰ تن می‌باشد. با توجه به اینکه مدت آتش‌سوزی مورد مطالعه از ۲۱ فوریه تا آخر مارس، شامل ۳۹ روز می‌باشد، بنابراین کل دوده تولیدی در مدت زمان مورد نظر حدود ۱۱۸۰۰۰۰ تن تخمین زده می‌شود.

همانطور که قبلاً نیز گفته شد، ۲۵٪/۲ درصد از کل دوده تولید شده در محدوده زمانی فوریه تا آخر مارس در اثر بارانهای سیاه بر روی محدوده ایران فرو نشسته‌اند، در نتیجه کل دوده فرو نشسته در ایران توسط بارانهای سیاه حدود ۳۰۰۰۰۰ تن می‌باشد. مساحت منطقه کاهاش می‌باشد. علت این امر کوچکی مساحت خلیج فارس نسبت به کل منطقه مورد مطالعه می‌باشد و به همین دلیل خلیج فارس سهم بسیار کمی از میزان کل دوده منتشره را به خود اختصاص می‌دهد و تأثیر آن روی میزان دود ورودی به ایران حساسیت زیادی نسبت در نتیجه این وزن ندارد. درصد دود دریافتی توسط خلیج فارس بصورت زیر محاسبه می‌شود:

می‌آیند. البته نقاط ابری در این محاسبه نقش ندارند چونکه همانطور که در شکل ۳ نشان داده شده است، مناطق ابری از تصویر حذف شده‌اند. از طرفی جهت گنجاندن اثر نقاط ابری در مقادیر VI و VR، بایستی این مقادیر در عکس نسبت ابرناکی مناطق مربوطه آنها ضرب شوند. عکس نسبت ابرناکی با تقسیم تعداد سلولهای هر منطقه به تعداد سلولهای معلوم همان منطقه (سلولهای حذف نشده و دارای مقادیر) محاسبه می‌شود.

اکنون با توجه به مطالب مذکور، دو پارامتر تحت عنوان مجموع شاخص‌های دود ایران و منطقه برای تصویر SII بصورت زیر تعریف می‌شود:

$$(4) ISI = VI \times \frac{۲۳۴۹۸}{NI}$$

$$(5) RSI = VR \times \frac{۶۲۲۲۴}{NR}$$

که ISI: مجموع مقادیر سلولهای تصویر شاخص دود SII برای مناطق داخل ایران،

VI: مجموع شاخص‌های دود ایران،

NI: تعداد سلولهای معلوم داخل ایران،

RSI: مجموع شاخص‌های دود منطقه،

VR: مجموع مقادیر سلولهای تصویر شاخص دود SII برای کل منطقه

NR: تعداد سلولهای معلوم کل منطقه می‌باشد.

اکنون با استفاده از رابطه ۴ می‌توان درصد دود

ورودی به ایران را محاسبه نمود:

$$(6) PS = \frac{ISI}{RSI} \times 100$$

که PS در صد دود ورودی به فضای ایران بدون در نظر گرفتن محدوده خلیج فارس را نشان می‌دهد.

نتایج

با استفاده از ۱۳ تصویر پردازش شده، پارامترهای مختلف رابطه ۶-۰ مقادیر PS محاسبه شد (جدول ۱). با

میانگین‌گیری از اعداد درصد دود ورودی به ایران در جدول ۱- و بدون در نظر گرفتن سهم دود خلیج فارس،

عدد ۴۲ درصد بدست می‌آید. نزدیکی خلیج فارس به محل آتش‌سوزی و همچنین وجود یکی از سه جهت

عمده باد به سمت خلیج فارس (۱۴، ۵)، باعث می‌شود

که وزن دود دریافتی منطقه خلیج فارس بیشتر از دیگر مناطق در نظر گرفته شود. در این تحقیق به منظور

حذف اثرات خلیج فارس این وزن ۱/۵ برابر در نظر گرفته شده است. آنالیز حساسیت انجام شده بر روی این وزن،

نشان می‌دهد که به ازای افزایش این وزن از مقدار ۱

به اندازه ۵۰ درصد، میزان دود ورودی به ایران فقط ۹

درصد (از مقدار ۳۶٪/۴ به مقدار ۳۳٪/۴ درصد از کل دود

منطقه) کاهش می‌یابد. علت این امر کوچکی مساحت

خلیج فارس نسبت به کل منطقه مورد مطالعه می‌باشد و

به همین دلیل خلیج فارس سهم بسیار کمی از میزان کل

دوده منتشره را به خود اختصاص می‌دهد و تأثیر آن روی

میزان دود ورودی به ایران حساسیت زیادی نسبت در نتیجه

این وزن ندارد. درصد دود دریافتی توسط خلیج فارس

بصورت زیر محاسبه می‌شود:

$$(7) PG = \frac{۹۶۵۶}{(۹۶۵۶+۶۲۲۲۴)} \times ۱۰۰ = ۲۰$$

و سطح زمین با ماههای می و زوئن تفاوت زیادی دارد مثلاً سطح خاک منطقه طی این ماهها عموماً دارای رطوبت است در حالی که تصویر مرطب به ماه می و زوئن است که در این ماهها رطوبت زمین کم است. همچنین زاوية خوشیدی و پوشش گیاهی منطقه در ماههای فوریه و مارس با ماههای می و زوئن متفاوت است. لذا اثرات اتمسفری و سطح زمین خاص منطقه در ماههایی مورد مطالعه در این تصویر مرطب به خوبی لحاظ نشده است. به همین خاطر مقادیر بزرگتر از صفر در تصویر شاخص دود (SI) در صورتی می‌توانند دود باشند که اثرات شرایط اتمسفری و سطح زمین در ماه فوریه و مارس باشد. برای ساختن چنین تصویر مرجمعی، از تصاویر ماهواره‌ای مرطب به روزهای قبل از شروع آتش‌سوزی در ماه فوریه، استفاده شد و تصویر مرجمع جدیدی به نام RHI که در آن اثرات شرایط اتمسفری و اقلیمی تا حد امکان در نظر گرفته شده بود، بدست آمد. سپس رابطه ۱- به صورت معکوس به تصویر شاخص دود (CSI) اعمال شد (رابطه ۲)، تا تصویر خام بدون این باند ۲ ایجاد شود تا بتوان در مراحل بعدی، پردازش‌های لازم جهت بهبود نتایج مدل را بدست آورد و مدل مذکور را توسعه داد. رابطه ۲، بصورت زیر بیان می‌شود:

$$(2) RNC = RCI - [1 - CSI]$$

که RNC تصویر خام باند ۲ است که نقاط ابری آن حذف شده است.

سپس رابطه ۱- به تصویر RNC اعمال گردید (رابطه ۳) که در این قسمت برای اعمال اثرات شرایط اتمسفری و سطح زمین منطقه، از تصویر مرجمع جدید (RHI) استفاده شده است.

$$(3) SHI = \frac{RNC}{RHI} - 1$$

SIH نقشه شاخص دود بر اساس تصویر مرجمع است.

اگر مقادیر منفی تصویر شاخص دود SIH تبدیل به صفر شوند، نقشه شاخص دود ورودی به ایران در این تصویر شاخص دود که SII نامیده شده، مناطق ابری و خلیج فارس از تصویر حذف شده‌اند. شکل ۳- یک نمونه از تصویر شاخص دود SII را نشان می‌دهد که مرطب به ساعت ۱۰ روز دوازدهم ماه مارس سال ۱۹۹۱ میلادی به وقت گرینویچ می‌باشد.

عملیات فوق بر روی تصویرهای ۱۳ روز مختلف از ماههای فوریه و مارس اعمال شد. در تصاویر روزهای انتخابی میزان ابر داخل و خارج ایران اختلاف چشمگیری نشان ندادند و در منطقه چاههای نفت نیز ابری وجود نداشت. لیست تصاویر روزهای انتخابی در ستون اول جدول ۱- نشان داده شده‌اند.

تعداد سلولهایی که خلیج فارس را در تصویر شکل ۳ در بر می‌گیرد، ۹۶۵۶ سلول می‌باشد. کل سرزمینهای داخل و خارج ایران در تصویر شکل ۳- شامل ۶۲۲۲۴ سلول و محدوده داخل مرز ایران در محدوده تصویر ۲۲۴۹۸ سلول می‌باشد. مقادیر شاخص دود سلولهای مختلف نقشه SII در راهنمای شکل ۳- نشان داده شده است. اگر مقادیر سلولهای مختلف نقشه شاخص دود SII در داخل ایران و کل منطقه جمع زده شوند، به ترتیب مجموع مقادیر سلولهای تصویر شاخص دود SII برای مناطق داخل ایران (VI) و مجموع مقادیر سلولهای تصویر شاخص دود SII برای کل منطقه (VR) بدست

the 5th asipasific conference on multilateral cooperation in the space technology Applications, I.R. of Iran, tehran, 6-9 December.

12 - Johnson, R.L., C.G. Kilsby, D.S. McKenna, R.W. Saunders G.L. Jenkins, F.B. Smith and J.S. Foot, 1991. Airborne observations of the physical and chemical characteristics of the Kuwaiti oil smoke plume. *Nature* 353: 317-321.

13- Kuwait oil company, 1991, Well numbers and dates. Production operations department, oil well survey data, Kuwait.

14- Limaye, S.S., S.A. Ackerman, P.M. Fry, M.I.H. Ali, C.Ali, A. Wright, and A., Rango, 1992, Satellite monitoring of smoke from the Kuwait oil fires. *J. Geophys. Res.*, 97(D13): 14551-14563.

15 - Ronsohoff, L.M., K. Knudson, B.W. Bush and R.D. Small, 1989, Material inventories and smoke properties for US target areas. Pacific Sierra Research Corporation.

16- Small, R.D., 1991, Environmental impact of fires in Kuwait. *Nature*, 350: 11-12.

17- Vasiliadis, H.V. and F. Adib, 1997, Smoke plumes from the 1991 Kuwait Oil fires. Center for water resources and environmental research, The city university of NewYork, Report No. TR97-CWRER. 12.01, December.

18- WMO, 1991, Report of First WMO meeting of experts on the atmospheric part Joint UN response to the Kuwait Oil Fires, Geneva, Switzerland, 27-30 April.

19- WMO, 1992, Report of Second WMO meeting of experts to assess the response to and atmospheric effects of Kuwaiti oil fires, Geneva, Switzerland, 25-29 May.

منابع مورد استفاده

- 1- اساعلی ساری عباس، ۱۳۷۷، بررسی منشاء آلدگهای نفتی، در تالاب شادگان با استفاده از روش ردیابی Fingerprint مجله منابع طبیعی ایران، جلد ۱۱ شماره ۲، ص ۱۲-۲۲.
- 2- Aminipour, B., N., Jalali, A.A., Noroozi, and A.A., Abkar, 1998, Tracking of oil spills and smoke plumes of Kuwait's oil well fires to the coast and territory of Iran as a result of the 1991 Persian Gulf war. Soil Conservation and Watershed Management Research Center of Iran ISBN 90 6164 148 9, 282 pp.
- 3- Bakan, S., A. Chlond, U. Cubaseh, J. Feichter, H. Graf, H. Grassl, K. Hasselmann, J. Kirchner, M. Lafif, E. Roechner, R. Sausen, U. Sellesse, D. Schriver, I. Schult, U. Schumann, F. Sielmann and W. Welke, 1991, Climate response to smoke from burning of wells in Kuwait. *Nature*, No. 351: 367-371.
- 4- Browning, K. A., R. J. Allam, S.P. Ballard, R.I.H. Barnes, D. A. Bennetts, R. H. Maryons, P.J. Mason, D. McKenna, J.F.B. Mitchell, C.A. Senior, A. Salio and F.B. Smith, 1991, Environmental effects from burning of wells in Kuwait. *Nature* 351: 363-367.
- 5- Cahalan, R.F., 1992. The Kuwait oil fires as seen by Landsat. *J. Geophys. Res.* 97(D13): 14565-14571.
- 6- Center for water resources and environmental research, 1998, development of computer based modelling system for the atmospheric air plume movement following Kuwait oil well fires. University of New York., USA, October.
- 7- Ferek, R.J., P.V. Hobbs, J. A. Herring, K.A. Larsen and R.A. Weiss, 1992, Chemical composition of emissions from the Kuwaiti oil fires. *Journal of Geophysical Research* 97 (14): 483-489.
- 8- Hobbs, P.V. and L.F. Radke, 1992, Airborne studies of the smoke from the Kuwait oil fires. *Science*, 256: 987-991.
- 9- Hosain, T., 1995, Kuwait oil fires: Regional environmental perspectives. 1st.ed., Elsevier Science.
- 10- ILWIS (Integrated Land and Water Information System), 1998, Remote sensing & software package, version 2.2, International Institute for aerospace survey and earth science (ITC), The Netherland.
- 11- Jalali, N., B. Aminipour and. A. Noroozi, 1999, Tracking of smoke plumes generated by Kuwaiti's oil wells fire, using model based image analysis. Proceeding of

بسیار زیاد در داده‌های گزارش شده توسط سازمانهای داخلی و خارجی، اظهار نظر در مورد قابلیت اطمینان نتایج کاملاً امکان پذیر نمی‌باشد. با این حال، در این تحقیق سعی شده است که تا حد امکان مدل مناسبی برای پراکنش دود در منطقه توسعه داده شود و همچنین از داده‌هایی که معتبرتر و معقول‌تر به نظر می‌رسند حداکثر استفاده شود. همچنین در این تحقیق سعی شده است که از فرضیات معقولی استفاده شود تا عدم قطعیت نتایج حاصله تا حد امکان کاهش یابد.

نتیجه‌گیری

- 1- از تصاویر ماهواره‌ای علاوه بر نمایش پراکنش آلاندنهای هوا و زبانه دود، مخصوصاً در موقعی که اطلاعات کافی برای مدلسازی ریاضی در دست نباشد، می‌توان بر حسب قدرت تفکیک تصویر، برای مدلسازیهای محلی و منطقه‌ای و جهانی استفاده نمود.
- 2- از جمله مشخصه‌های اساسی روش پردازش تصویر در این تحقیق جداسازی ابر بر اساس یک تصویر مرجع و در نظر گرفتن اثرات شرایط اتمسفری و سطح زمین از تصویر مرجع دیگر می‌باشد.
- 3- در صورت عدم وجود داده‌های اندازه‌گیری از حوادث گسترده آتش سوزی، می‌توان با استفاده از تصاویر ماهواره‌ای و با یک سری فرضیات معقول، میزان آلاندنهای فرو نشسته در منطقه مطالعاتی را تخمین زد.
- 4- ۲۵/۲ درصد دوده ناشی از آتش سوزی چاههای نفت کویت بصورت باران سیاه در ماههای فوریه و مارس ۱۹۹۱ روی زمینهای ایران فرو نشسته است. این درصد به طور کلی می‌تواند برای برآورد ترکیبات مختلف موجود در دود نیز بکار رود.
- 5- با توجه به نتایج حاصل از این مطالعه، کل دوده فرو نشسته در ایران طی ماههای فوریه و مارس توسط بارانهای سیاه حدود ۳۰۰۰۰۰ تون و میزان متوسط دوده فرو نشسته در ایران حدود ۵۰۰ گرم بر متر مربع تخمین زده می‌شود.

سپاسگزاری

در اینجا لازم می‌دانیم که از اعضاء هیأت علمی و کارکنان مرکز تحقیقات حفاظت خاک و آبخیزداری و علی‌الخصوص آقای دکتر بهرام امینی‌پوری که بنحوی در انجام این تحقیق ما را بیاری کردن، تشکر و قدردانی نماییم.

پاورقی‌ها

- 1- Global
- 2- Regional
- 3- Local
- 4- Global Area Coverage (GAC)
- 5- Advanced Very High Resolution Radiometer
- 6- National Oceanographic Administration Agency (NOAA)
- 7- National Center for Atmospheric Research (NCAR)